



زمان بندی بار محاسباتی تقسیم پذیر با در نظر گرفتن زمان بازگشت نتایج در سیستم های ناهمگن با استفاده از الگوریتم ژنتیک

رضا منصفی،

جواد حمیدزاده،

عضو هیئت علمی دانشگاه،

دانشجوی دکتری کامپیوتر،

دانشگاه فردوسی مشهد، دانشکده مهندسی، گروه کامپیوتر

دانشگاه فردوسی مشهد، دانشکده مهندسی، گروه کامپیوتر و عضو هیئت

علمی مؤسسه آموزش عالی سجاد مشهد

monsefi@um.ac.ir

Ja_ha47@stu-mail.um.ac.ir

تشکیل شود. مسئله تطبیق و زمان بندی کارها در این سیستم ها، از جمله مسائل سخت^۴ است. یکی از مدل های محاسباتی مطرح در این سیستم ها، مدل بار محاسباتی تقسیم پذیر^۵ است. تئوری این دسته از محاسبات برای اولین بار در سال ۱۹۸۸ میلادی توسط آقای «ربرتازی» در مقاله [۱۲] معرفی شد که با چاپ کتاب [۱] توسط ایشان و همکاران، باعث توجه بیشتر محققین به این تئوری شد.

در تئوری بار محاسباتی تقسیم پذیر، بار محاسباتی از تعداد زیادی واحدهای محاسباتی^۶ ریزدانه^۷ تشکیل شده است که پردازش این واحدها می تواند به طور کاملاً مستقل و موازی با هم انجام گیرد. فرض بر این است که این واحدهای محاسباتی قابل تقسیم نباشند. در نتیجه، حجم زیادی از محاسبات، می تواند به هر نسبتی بر حسب واحدهای محاسباتی ریزدانه تقسیم شده و سپس برای اجرای موازی به ماشین های موجود ارسال شود.

این تئوری ابزار مناسبی جهت مدل سازی کاربردهای بسیاری با داده های حجیم^۸ است [۲۲-۸-۶]. از جمله کاربردهایی که در این دسته از محاسبات می توان به آنها اشاره نمود عبارتند از: پردازش تصویر [۱۳]، پردازش سیگنال، جستجو در بانک های اطلاعاتی [۱۴]، داده کاوی^۹، محاسبات جبرخطی [۱۵] و کاربردهای چند رسانه ای [۱۶].

در این تئوری، از مدل ارباب و کارگر^{۱۰} جهت پیاده سازی استفاده می شود. کل بار محاسباتی در این تئوری بر روی کامپیوتر ارباب قرار دارد که از طریق یک شبکه ارتباطی دارای هم بندی^{۱۱} مشخص، با کامپیوترهای کارگر در ارتباط است. کامپیوتر ارباب موظف است بار محاسباتی تقسیم پذیر را بین کامپیوترهای کارگر تقسیم نماید و کامپیوترهای کارگر تا دریافت کامل سهم بار

چکیده: امروزه مسئله زمان بندی کارها در سیستم های ناهمگن به دلیل لزوم استفاده بهینه از ماشین های محاسباتی موجود و همچنین صرف زمان کمتر برای اجرای الگوریتم های زمان بندی، از اهمیت خاصی برخوردار است. در این مقاله زمان بندی بار محاسباتی تقسیم پذیر با در نظر گرفتن زمان بازگشت نتایج در یک سیستم ناهمگن دارای شبکه ارتباطی درختی تک سطحی بررسی شده است. یکی از اهداف زمان بندی در این گونه سیستم ها، کمینه سازی زمان کل پاسخ است. تاکنون الگوریتمی معین با پیچیدگی زمانی چند جمله ای که بتواند در تمام حالت ها جواب بهینه را تولید کند، برای این منظور ارائه نشده است. این مسئله مانند مسائل ترکیباتی، پیچیده به نظر می رسد و راه حل های موجود برای آن، راه حل های ابتکاری است. در این مقاله الگوریتم ژنتیک به عنوان یک راه حل مسئله پیشنهاد شده است. با انجام شبیه سازی و مقایسه نتایج مشاهده می شود که این راه حل، در مقایسه با سایر روش های موجود جواب های بهتری تولید می کند. در میان روش های موجود، الگوریتم ژنتیک پیشنهادی دارای کمترین میانگین کل درصد خطای نسبی است.

واژه های کلیدی: زمان بندی، بار محاسباتی تقسیم پذیر، زمان بازگشت نتایج، سیستم های ناهمگن، الگوریتم ژنتیک.

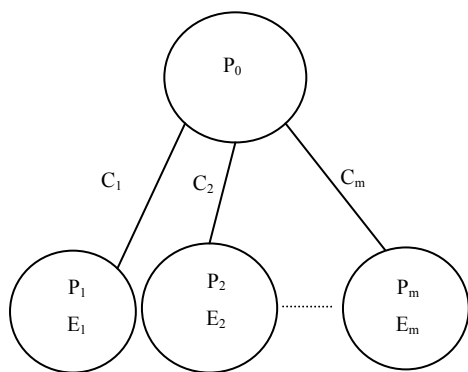
۱- مقدمه

امروزه کارهای^۱ محاسباتی حجیم و زمان بندی اجرای آنها در سیستم های ناهمگن^۲ بسیار مورد توجه قرار گرفته است. در این گونه سیستم ها، کارایی ماشین ها، هم بندی شبکه ارتباطی و سرعت خطوط ارتباطی^۳ شبکه می تواند متفاوت باشد بطوری که یک سیستم ناهمگن

ادامه این مقاله از بخش‌های زیر تشکیل شده است. در بخش دوم مسئله زمان‌بندی بار تقسیم‌پذیر در یک شبکه دارای هم‌بندی درختی تک سطحی بیان شده و مدل ریاضی برای آن ارائه گردیده است. در بخش سوم، الگوریتم ژنتیک جهت این زمان‌بندی بیان شده است. در بخش چهارم، نتایج شبیه‌سازی‌های انجام شده و مقایسه‌ها بیان گردیده است و در نهایت، در بخش پایانی نتیجه‌گیری و پیشنهاد ادامه کار بیان شده است.

۲- بیان مدل مسئله زمان‌بندی بار تقسیم‌پذیر

در شکل (۱)، هم‌بندی درختی تک سطحی مورد استفاده در شبکه ارتباطی مدل ارباب و کارگر نشان داده شده است. در این شکل، کامپیوتر ارباب در ریشه و کامپیوترهای کارگر در برگ‌ها واقع شده‌اند. در ابتدا کل بار محاسباتی L بر روی کامپیوتر ارباب ذخیره گردیده است.



شکل (۱): شبکه درختی تک سطحی ناهمگن [۹]

در این مدل، $P = \{P_0, \dots, P_m\}$ بیانگر مجموعه $m+1$ کامپیوتر است که در آن P_0 کامپیوتر ارباب و بقیه، کامپیوترهای کارگر هستند؛ $E = \{E_1, \dots, E_m\}$ بیانگر شاخص سرعت پردازش کامپیوترهای کارگر است؛ E_k بیانگر مدت زمان لازم جهت پردازش یک واحد محاسباتی بر روی کامپیوتر کارگر شماره k است؛ مجموعه $C = \{C_1, \dots, C_m\}$ بیانگر پارامترهای مربوط به سرعت خطوط ارتباطی شبکه است؛ C_k بیانگر مدت زمان لازم جهت ارسال یک واحد داده محاسباتی از کامپیوتر ارباب به کامپیوتر کارگر شماره k است. در این مدل، L بیانگر کل حجم بار محاسباتی اولیه موجود در کامپیوتر ارباب است. همچنین با توجه به اینکه به کلیت مسئله لطمه‌ای وارد نخواهد آمد، فرض می‌کنیم $L=1$ باشد.

در این مدل، $\alpha = \{\alpha_1, \dots, \alpha_m\}$ بیانگر درصد سهم بار محاسباتی هر یک از کامپیوترهای کارگر است؛ δ نیز بیانگر نسبت حجم داده حاصل از پردازش در هر کامپیوتر کارگر به سهم بار محاسباتی آن است. این پارامتر یک مقدار ثابت است که به ماهیت برنامه کاربردی^{۱۸} وابسته بوده و به میزان سهم هر کامپیوتر کارگر بستگی

محاسباتی خود منتظر مانده و سپس پردازش خود را آغاز نمایند. هر کامپیوتر کارگر پس از اتمام پردازش، موظف است طی ترتیبی که در زمان‌بندی مشخص شده نتیجه را به کامپیوتر ارباب بازگرداند. هدف از زمان‌بندی در این سیستم، تعیین سهم هر کامپیوتر کارگر، ترتیب توزیع سهم‌ها و ترتیب بازگشت نتایج پردازش شده به کامپیوتر ارباب است، به گونه‌ای که زمان کل پاسخ^{۱۳} کمینه شود.

در اغلب تحقیقات انجام شده در این زمینه، حجم نتایج حاصل از پردازش در کامپیوترهای کارگر بقدری کم فرض شده است که می‌توان از در نظر گرفتن تاخیر زمانی لازم جهت ارسال این داده‌ها به کامپیوتر ارباب صرف‌نظر نمود. این در حالی است که می‌توان کاربردهای بسیاری را در نظر گرفت که در آنها، حجم نتایج بدست آمده در کامپیوترهای کارگر، ضریب مشخصی از حجم بار تحویلی به آنهاست. بنابراین در این گونه موارد نمی‌توان از در نظر گرفتن تاخیر زمانی مورد نیاز جهت بازگشت نتایج به کامپیوتر ارباب صرف‌نظر نمود. متأسفانه تحقیقات اندکی در این زمینه انجام شده و نتایج بدست آمده در این باره، بسیار محدود است.

امروزه تحقیقات در این زمینه با در نظر گرفتن تاخیر زمانی برای بازگشت نتیجه پردازش‌ها مطرح گردیده است، به این ترتیب که اگر m تعداد کامپیوترهای کارگر باشد، با در نظر گرفتن ترتیب‌های مختلف جهت توزیع و بازگشت نتیجه، پیچیدگی زمانی راه حل بهینه، از مرتبه $O(m!^2)$ خواهد شد و چنانچه تعداد کامپیوترهای کارگر زیاد باشد، بدست آوردن زمان‌بندی بهینه، بسیار زمانبر خواهد بود. تاکنون نیز راه حلی بهینه با پیچیدگی زمانی چند جمله‌ای برای این مسئله ارائه نشده است. اما روش‌های ابتکاری موجود برای حل این مسئله عبارتند از: روش‌های LIFO^{۱۳}، FIFO^{۱۴} [۲۱ و ۱۸]، ITERLP^{۱۵} [۲۰] و SPORT^{۱۶} [۹].

نتایج تحقیقات، نشان دهنده این است که در یک سیستم همگن^{۱۷} روش FIFO عملکرد بهتری نسبت به روش LIFO داشته و به جواب بهینه نزدیک‌تر است ولی در یک سیستم ناهمگن، عکس این مسئله صادق است، یعنی عملکرد روش LIFO بهتر از روش FIFO است [۱۸ و ۱۰]. آخرین روش قابل بررسی در این زمینه، روش SPORT است که در مقالات [۹] و [۱۰] معرفی و تحلیل گردیده است.

یکی از روش‌های ابتکاری هوشمند در حل این مسئله، استفاده از روش‌های محاسبات تکاملی، از جمله الگوریتم ژنتیک است. تنها الگوریتم ژنتیک ارائه شده در این زمینه الگوریتم [۱۹] است که در آن، تاخیر زمانی بازگشت نتیجه در نظر گرفته نشده است. هدف ما در این مقاله، پیشنهاد یک الگوریتم ژنتیک برای حل این مسئله است که در آن، تاخیر زمانی بازگشت نتیجه در نظر گرفته شود.

محاسباتی را به کامپیوترهای کارگر تضمین کند.

مسئله کمینه‌سازی نشان داده شده در شکل (۲) با در نظر گرفتن محدودیت‌های (۱) تا (۴)، یک مسئله برنامه‌ریزی خطی است که می‌تواند به کمک روش‌های استاندارد برنامه‌ریزی خطی، با پیچیدگی زمانی چند جمله‌ای حل شود [۲].

هدف ما از به کارگیری الگوریتم ژنتیک، تعیین ترتیب‌های بهینه σ_a و σ_c است. برای حل این مسئله در حالت معمول براساس روش «جستجوی همه حالت‌ها^{۲۱}»، نیاز به بررسی تمامی جایگشت‌های دو مجموعه σ_a و σ_c است که برابر است با: $m! \times m! = m!^2$. این روش که جواب بهینه سراسری را تولید می‌کند، در این مقاله الگوریتم بهینه نامیده می‌شود.

Minimize T

Subject To:

$$\sum_{j=1}^{\sigma_a(k)} \alpha_{\sigma_a[j]} C_{\sigma_a[j]} + \alpha_k E_k + \sum_{j=k}^m \delta \alpha_{\sigma_c[j]} C_{\sigma_c[j]} \leq T$$

$$k=1, \dots, m \quad (1)$$

$$\sum_{j=1}^m \alpha_{\sigma_a[j]} C_{\sigma_a[j]} + \sum_{j=1}^m \delta \alpha_{\sigma_c[j]} C_{\sigma_c[j]} \leq T \quad (2)$$

$$\sum_{j=1}^m \alpha_j = 1 \quad (3)$$

$$T \geq 0, \alpha_k \geq 0 \quad k=1, \dots, m \quad (4)$$

شکل(۲): مسئله برنامه‌ریزی خطی [۹]

در حال حاضر الگوریتم معینی برای حل این مسئله وجود ندارد که بتواند در زمان چند جمله‌ای، جواب بهینه را بیابد. در این زمینه فقط راه حل‌های ابتکاری یا حریصانه^{۲۲} وجود دارد. روش‌های LIFO, FIFO, ITERLP, SPORT نیز جزو راه حل‌های ارائه شده و مطرح هستند [۹]. الگوریتم ژنتیک پیشنهادی برای حل مسئله زمان‌بندی فوق، در مقایسه با روش‌های مطرح توانسته است جواب‌های بهتر و نزدیک‌تری به جواب بهینه تولید کند که نتایج حاصل از اجرای این الگوریتم و مقایسه آنها با جواب‌ها در سایر روش‌ها، در بخش شبیه‌سازی این مقاله بیان شده است.

۳- الگوریتم ژنتیک برای بهینه‌سازی زمان‌بندی بار

محاسباتی تقسیم‌پذیر

الگوریتم‌های ژنتیک، تکنیک‌های جستجوی تصادفی بر پایه انتخاب و تکامل طبیعی هستند [۳و۵]. برای حل یک مسئله، این الگوریتم‌ها، با یک مجموعه از راه حل‌های تصادفی آغاز می‌گردند که جمعیت اولیه

ندارد. همچنین فرض می‌کنیم که $0 \leq \delta \leq 1$ باشد.

حال اگر سهم کامپیوتر کارگر شماره i ، α_i باشد، زمان لازم برای ارسال این میزان بار محاسباتی از کامپیوتر ارباب به کامپیوتر کارگر شماره i برابر است با: $\alpha_i \times C_i$ ؛ زمان لازم برای پردازش این سهم در کامپیوتر کارگر شماره i برابر است با: $\alpha_i \times E_i$ ؛ زمان لازم جهت بازگشت نتیجه از کامپیوتر کارگر شماره i به کامپیوتر ارباب نیز برابر است با: $\delta \times \alpha_i \times C_i$ [۹].

دو مجموعه σ_a و σ_c ، به ترتیب بیانگر ترتیب توزیع بار محاسباتی به کامپیوترهای کارگر و ترتیب بازگشت نتایج از آنها به کامپیوتر ارباب است. در واقع اولین مجموعه، ترتیب تخصیص بار^{۱۹} و دومین مجموعه، بیانگر ترتیب جمع‌آوری نتایج^{۲۰} است؛ $\sigma_a[k]$ بیانگر شماره کامپیوتر کارگری است که به عنوان k امین کامپیوتر جهت ارسال یا تخصیص بار از سوی کامپیوتر ارباب انتخاب شده است؛ $\sigma_c[k]$ بیانگر شماره کامپیوتر کارگری است که به عنوان k امین کامپیوتر، نتیجه را به کامپیوتر ارباب برمی‌گرداند؛ $\sigma_a(k)$ بیانگر اندیس محل کامپیوتر کارگر شماره k در ترتیب تخصیص بار محاسباتی است؛ $\sigma_c(k)$ بیانگر اندیس محل کامپیوتر کارگر شماره k در ترتیب بازگشت نتایج است. در این مدل فرض براین است که قبل از زمان‌بندی، مقادیر مجموعه‌های E ، C و پارامترهای m و δ مشخص هستند.

در اینجا هدف از زمان‌بندی، تعیین ترتیب‌های بهینه تخصیص و جمع‌آوری نتایج و میزان سهم هر کامپیوتر کارگر از بار محاسباتی است. به عبارت دیگر، هدف از زمان‌بندی، تعیین مجموعه‌های σ_a ، σ_c و α است به گونه‌ای که زمان کل پردازش کمینه شود. زمان کل پردازش عبارت است از زمان شروع توزیع بار محاسباتی تا زمان دریافت آخرین نتیجه پردازش شده توسط کامپیوتر ارباب.

در صورتی که دو مجموعه σ_a و σ_c مشخص باشند، مجموعه α را می‌توان با حل برنامه‌ریزی خطی ارائه شده در شکل (۲) محاسبه کرد. در شکل (۲)، متغیر T ، بیانگر زمان کل پاسخ است که قرار است کمینه شود؛ روابط (۱) تا (۴)، بیانگر محدودیت‌های مسئله زمان‌بندی هستند؛ بخش اول محدودیت شماره (۱) بیانگر زمان لازم جهت تخصیص بار محاسباتی کامپیوترهای کارگر یکم تا k ام، طبق ترتیب σ_a است؛ بخش دوم محدودیت شماره (۱) بیانگر مدت زمان لازم جهت پردازش در کامپیوتر k ام است؛ بخش سوم محدودیت مزبور نیز در برگیرنده مدت زمان لازم جهت بازگشت نتایج بدست آمده از کامپیوترهای کارگر شماره k تا m ، طبق ترتیب σ_c است. محدودیت شماره (۲) بیانگر جمع زمان‌های لازم برای تخصیص کل بار محاسباتی به کامپیوترهای کارگر و جمع‌آوری تمامی نتایج از آنها است. محدودیت شماره (۳) نیز یک رابطه نرمال‌سازی به این منظور است که تخصیص کل بار



در رابطه (۲)، پارامتر N ، معرف اندازه جمعیت است. به راحتی می توان درستی رابطه (۳) را تحقیق نمود.

$$\sum_{j=1}^N S_j = 1 \quad (3)$$

عملگر ترکیب مورد استفاده، عملگر «ترکیب نگاشت شده جزئی»^{۲۸} است [۱۷] که در آن بطور تصادفی محل دو ژن از دو کروموزوم، انتخاب شده، سپس ژن های بین این دو محل از دو کروموزوم، با یکدیگر تعویض می شود. در ادامه برای حذف ژن های تکراری در هر دو کروموزوم کافی است محل های حاوی ژن های تکراری از دو کروموزوم را در نظر گرفته، سپس ژن های محل های مشابه در دو کروموزوم، با یکدیگر تعویض شوند.

در الگوریتم ژنتیک، به منظور یافتن نقاط جدید در فضای جستجو به گونه ای که تنوع جمعیتی نیز حفظ شود و همچنین به دلیل خارج شدن از دام بیشینه های محلی، از عملگر جهش استفاده می شود. در الگوریتم ژنتیک پیشنهادی به منظور جهش یک کروموزوم، ابتدا بطور تصادفی محل دو ژن، انتخاب شده و سپس ژن های این دو محل با یکدیگر تعویض می شوند [۴].

بطور کلی الگوریتم ژنتیک، به دنبال یافتن نقطه بهینه بیشینه است ولی هدف روش پیشنهادی در زمان بندی، یافتن نقطه بهینه کمینه است. در نتیجه تابع برازندگی را به صورت رابطه (۴) در نظر گرفته ایم.

$$F = \frac{1}{T} \quad (4)$$

۴- نتایج شبیه سازی و مقایسه ها

در آزمایش های انجام شده، کارایی الگوریتم ژنتیک را به کمک الگوریتم FIFOC و ITERLP, LIFOC, SPORT مقایسه کرده ایم. پیاده سازی ها، در محیط MatLab و بر روی کامپیوتری با پردازنده Intel Core 2 Due 2.4 GHz و دارای یک گیگا بایت حافظه اصلی انجام شده است. مقادیر پارامترهای C و E جهت انجام آزمایش ها، برای نمایش یک سیستم ناهمگن، مشابه روش ارائه شده در مقاله [۹] تولید شده اند که در آن ۲۵ مورد مختلف طبق جدول شماره (۱) در نظر گرفته شده است.

جدول (۱): محدوده پارامترهای سیستم ناهمگن [۹]

Case	C_k	E_k	Case	C_k	E_k
1	[1,10]	[1,10]	14	[10,100]	[1,100]
2	[1,10]	[10,100]	15	[10,100]	[10,1000]
3	[1,10]	[100,1000]	16	[10,1000]	[1,10]
4	[1,10]	[1,100]	17	[10,1000]	[10,100]
5	[1,10]	[10,1000]	18	[10,1000]	[100,1000]
6	[1,100]	[1,10]	19	[10,1000]	[1,100]
7	[1,100]	[10,100]	20	[10,1000]	[10,1000]
8	[1,100]	[100,1000]	21	[100,1000]	[1,10]
9	[1,100]	[1,100]	22	[100,1000]	[10,100]
10	[1,100]	[10,1000]	23	[100,1000]	[100,1000]
11	[10,100]	[1,10]	24	[100,1000]	[1,100]
12	[10,100]	[10,100]	25	[100,1000]	[10,1000]
13	[10,100]	[100,1000]			

نامیده می شود. هر عضو این جمعیت، یک کروموزوم (فرد) نامیده می شود. هر کروموزوم نشان دهنده یک راه حل مورد بررسی است و شامل دو بخش از ژن ها است. یک بخش، بیانگر ترتیب σ_a و بخش دیگر بیانگر ترتیب σ_c است. تعداد ژن های هر بخش برابر m است که در این مسئله، برابر است با تعداد کامپیوترهای کارگر.

مجموعه کروموزوم های مورد بررسی در هر بار تکرار الگوریتم ژنتیک، یک نسل نامیده می شود. کروموزوم ها توسط تابع برازندگی^{۲۳} مورد ارزیابی قرار گرفته و به منظور تولید نسل بعد، کروموزوم های جدید (فرزندان) با اعمال عملگرهای ژنتیک ترکیب^{۲۴} و جهش^{۲۵} تولید می شوند. سپس با استفاده از عملگر تکاملی انتخاب^{۲۶} و با توجه به مقادیر تابع برازندگی کروموزوم ها، تعدادی از والدین و فرزندان به نسل بعد انتقال می یابند. لازم به ذکر است که ما از نخبه گرایی^{۲۷} نیز استفاده کرده ایم. بنابراین بدترین فرد نسل بعد، با بهترین فرد نسل قبل جایگزین می شود.

مراحل سه گانه تولید، ارزیابی و انتخاب کروموزوم ها، تا مشاهده شرایط توقف، تکرار می شوند. با پایان یافتن الگوریتم، کروموزوم دارای بهترین مقدار تابع برازندگی، بیانگر مجموعه های σ_a , σ_c و α خواهد بود. عکس مقدار تابع برازندگی، برابر زمان T است.

در ادامه، عملگرهای انتخاب، ترکیب و جهش و تابع برازندگی مورد استفاده در الگوریتم ژنتیک پیشنهادی بطور دقیق تر تشریح خواهد شد.

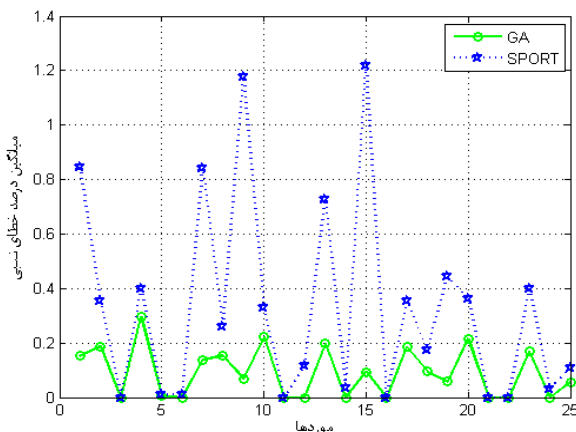
عملگر انتخاب، یکی از عملگرهای حیاتی و مهم در الگوریتم ژنتیک است. عملگر انتخاب یک عملگر احتمالی است که در آن شانس انتخاب بالاتر به افرادی داده می شود که از میزان برازندگی بیشتری برخوردارند. عملگر انتخاب مورد استفاده در الگوریتم ژنتیک پیشنهادی، بر اساس روش رتبه دهی با توزیع هندسی نرمال شده است [۱۱]. مزیت استفاده از این روش، جلوگیری از هم گرایی سریع در نسل های متوالی الگوریتم ژنتیک است. در این روش افراد بر اساس میزان برازندگی شان به ترتیب نزولی مرتب می شوند. سپس رتبه دهی به آنها بصورت یک لیست مرتب با شروع از عدد ۱ صورت می پذیرد به گونه ای که بهترین فرد، رتبه ۱ و بدترین فرد، رتبه N را کسب خواهد نمود. در لیست مرتب، برای فرد شماره j رتبه $R_j = j$ در نظر گرفته می شود که براساس آن احتمال انتخاب S_j برای فرد شماره j از رابطه (۱) محاسبه می شود.

$$S_j = q(1-p)^{R_j-1} \quad (1)$$

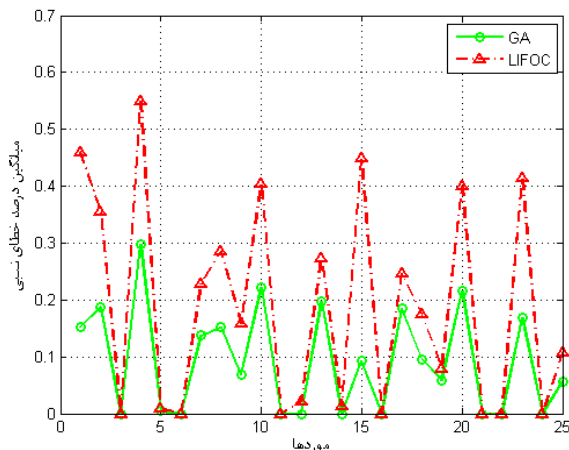
در رابطه (۱)، p معرف احتمال انتخاب بهترین فرد است. لازم به ذکر است که p جزو پارامترهای الگوریتم ژنتیک پیشنهادی است. در رابطه (۱) مقدار q مطابق رابطه (۲) محاسبه می شود.

$$q = \frac{p}{1-(1-p)^N} \quad (2)$$

در شکل (۵)، الگوریتم ژنتیک را با الگوریتم ITERLP مقایسه کرده‌ایم. همان‌گونه که این نمودار نشان می‌دهد، در اکثر موردها، الگوریتم ژنتیک نتایج بهتری نسبت به الگوریتم ITERLP تولید کرده است. همچنین حداکثر خطای نسبی الگوریتم ITERLP، سه برابر حداکثر خطای نسبی الگوریتم ژنتیک است. با توجه به نتایج ضعیفی که الگوریتم FIFO در آزمایش‌ها، برای سیستم‌های ناهمگن تولید کرده است، از ترسیم نمودار مقایسه با این الگوریتم صرف‌نظر کرده و فقط نتیجه مقایسه در شکل (۸) و جدول شماره (۳) نشان داده شده است. همان‌طور که این نمودارها نشان می‌دهند، در اکثر موارد الگوریتم ژنتیک نتیجه بهتری را تولید می‌کند، به قسمی که حداکثر خطای آن نسبت به روش بهینه کمتر از ۰/۴ درصد است.



شکل (۳): نمودار میانگین درصد خطای نسبی دو الگوریتم ژنتیک و SPORT برای $m=5$, $\delta=0.5$



شکل (۴): نمودار میانگین درصد خطای نسبی دو الگوریتم ژنتیک و LIFO برای $m=5$, $\delta=0.5$

برای هر یک از ۲۵ مورد جدول (۱)، m مقدار برای پارامترهای C و E ، در محدوده‌های تعیین شده، بصورت تصادفی و با توزیع یکنواخت تولید شده‌اند. با توجه به اینکه الگوریتم ژنتیک یک الگوریتم تصادفی است، برای هر مورد فوق، تولید پارامترهای C و E ، صد بار تکرار شده است که منجر به صد بار اجرای الگوریتم ژنتیک و سایر الگوریتم‌ها شده است. برای هر کدام از صد نمونه فوق، اجرای الگوریتم ژنتیک، ده مرتبه تکرار شده است و نتیجه (T) در نظر گرفته شده برای الگوریتم ژنتیک، میانگین این ده مرتبه از اجرا است. مقادیر پارامترهای الگوریتم ژنتیک در جدول شماره (۲) نشان داده شده است.

جدول (۲): مقادیر پارامترهای الگوریتم ژنتیک

نام پارامتر	وظیفه	مقدار
P_m	احتمال جهش	0.05
P_c	احتمال ترکیب	0.6
MaxGen	ماکزیمم تعداد نسل‌ها	100
q	احتمال انتخاب بهترین فرد	0.08
N	اندازه جمعیت	10

در تمام آزمایش‌ها، زمان اتمام پردازش کل بار محاسباتی، برای هر الگوریتم محاسبه شده است. اگر متغیر T_{opt} بیانگر این زمان برای الگوریتم بهینه باشد و متغیر T_v نیز بیانگر زمان فوق‌الذکر برای سایر الگوریتم‌ها باشد آنگاه درصد خطای نسبی (ΔT_v) طبق رابطه (۵) محاسبه می‌شود.

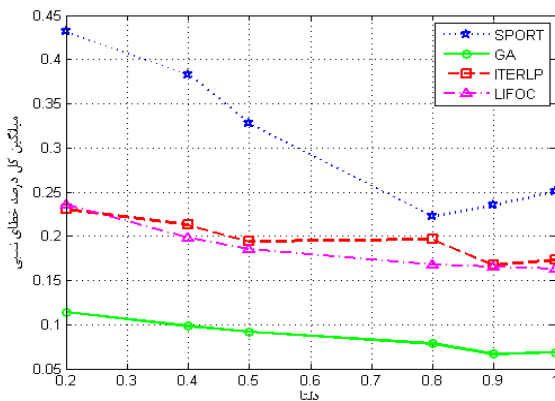
$$\Delta T_v = \frac{T_v - T_{opt}}{T_{opt}} \times 100\% \quad (5)$$

با توجه به اینکه برای هر مورد از جدول شماره (۱)، صد داده آزمایشی تولید شده است، میانگین رابطه (۵)، بصورت فرمول (۶) محاسبه می‌گردد.

$$\overline{\Delta T_v} = \frac{\sum_{k=1}^{100} \Delta T_v^k}{100} \quad (6)$$

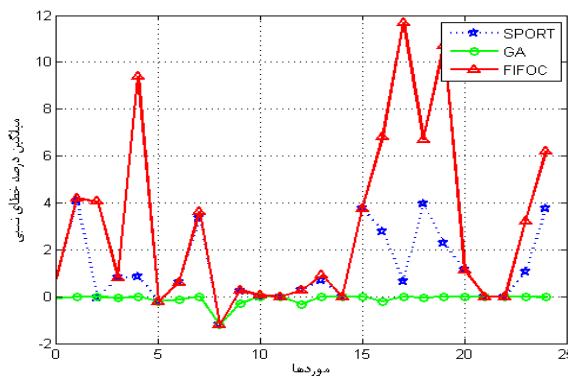
فرمول (۶) را میانگین درصد خطای نسبی می‌نامیم. در شکل (۳)، میانگین درصد خطای نسبی برای دو الگوریتم ژنتیک و SPORT نشان داده شده است. همان‌گونه که در نمودار دیده می‌شود، حداکثر میزان خطای نسبی الگوریتم ژنتیک، کمتر از ۰/۴ درصد است در حالی که این مقدار برای الگوریتم SPORT بیش از ۱ درصد است. همچنین به‌طور متوسط، الگوریتم ژنتیک نسبت به الگوریتم دیگر جواب‌های نزدیک‌تری به جواب بهینه تولید کرده است.

در شکل (۴)، الگوریتم ژنتیک با الگوریتم LIFO مقایسه شده است. با دقت در این نمودار در می‌یابیم که حداکثر خطای الگوریتم ژنتیک از حداکثر خطای الگوریتم LIFO کمتر است. حداکثر خطای الگوریتم LIFO بیش از ۰/۵ درصد است.



شکل (۷): نمودار میانگین کل درصد خطای نسبی برای $m=5$

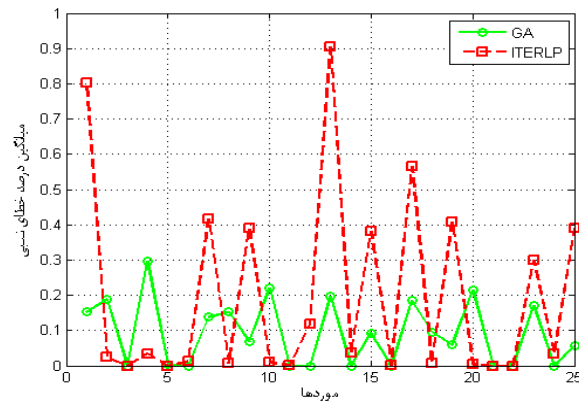
به منظور در نظر گرفتن تاثیر افزایش تعداد کامپیوترهای کارگر (m) نیز در نتایج بدست آمده، آزمایش‌های قبلی برای مقادیر $m=100$ و $\delta=0.5$ تکرار شده است ولی به این دلیل که امکان اجرای الگوریتم بهینه و ITERLP از نظر زمانی وجود نداشته، اختلاف نتایج بدست آمده، با الگوریتم LIFO مقایسه شده است که نتایج در نمودار شکل (۸)، نشان داده شده است.



شکل (۸): نمودار میانگین درصد خطا نسبت به الگوریتم LIFO برای $m=100, \delta=0.5$

در نمودار شکل (۸)، بخش‌هایی از نمودار که نتیجه منفی را نشان می‌دهد، به این معناست که زمان پاسخ الگوریتم مورد نظر، از الگوریتم LIFO بهتر بوده است. بنابراین مشاهده می‌شود که عملکرد الگوریتم ژنتیک با افزایش m ، از سایر الگوریتم‌های مورد بررسی نیز بهتر خواهد بود.

در جدول شماره (۳)، الگوریتم‌ها از نظر میانگین مدت زمان اجرا و میانگین کل درصد خطای نسبی با یکدیگر مقایسه شده‌اند. این زمان‌ها برای $m=5$ و $\delta=0.5$ بیان شده‌اند. همان‌طور که در جدول دیده می‌شود، میانگین کل درصد خطای نسبی الگوریتم ژنتیک نسبت به بقیه الگوریتم‌ها کمتر است اما زمان لازم برای اجرای این الگوریتم نسبت به دیگر الگوریتم‌های غیر بهینه، بیشتر

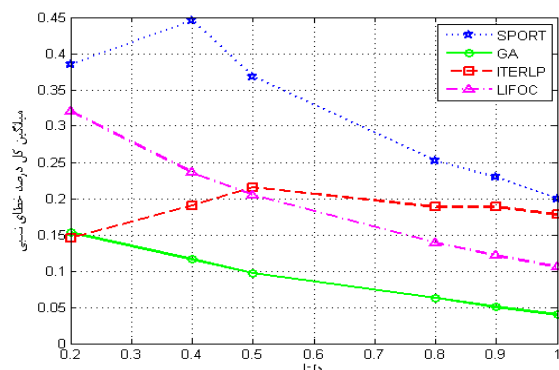


شکل (۵): نمودار میانگین درصد خطای نسبی دو الگوریتم ژنتیک و ITERLP برای $m=5, \delta=0.5$

به منظور در نظر گرفتن میزان تاثیر پارامتر دلتا بر روی زمان پاسخ‌های بدست آمده در الگوریتم‌های ذکر شده، آزمایش‌های قبلی را برای $m=4, 5$ و $\delta=0.2, 0.4, 0.5, 0.8, 1$ تکرار کرده و سپس میانگین مقدار $\overline{\Delta T_v}$ را برای ۲۵ مورد محاسبه نموده‌ایم که حاصل آن در نمودارهای شماره (۶) و (۷) نشان داده شده است. رابطه (۷) را میانگین کل درصد خطای نسبی نامیده‌ایم.

$$\overline{\Delta T_v} = \frac{\sum_{i=1}^{25} \overline{\Delta T_v^i}}{25} \quad (7)$$

در نمودارهای (۶) و (۷)، میانگین کل درصد خطای نسبی برای چهار الگوریتم ژنتیک، LIFO، ITERLP و SPORT به ترتیب برای چهار و پنج کامپیوتر کارگر ترسیم شده است. همان‌طور که در نمودارهای فوق‌الذکر دیده می‌شود با افزایش مقدار پارامتر دلتا، میانگین کل درصد خطای نسبی الگوریتم ژنتیک کاهش می‌یابد. برای تمام مقادیر دلتا، میانگین کل درصد خطای نسبی الگوریتم ژنتیک در مقایسه با سایر الگوریتم‌ها کمتر است. همچنین الگوریتم ژنتیک، زمان پاسخ بهتری را با افزایش مقدار پارامتر دلتا تولید می‌کند.



شکل (۶): نمودار میانگین کل درصد خطای نسبی برای $m=4$



[5] Haupt, R. L., Haupt, S. E., *Practical Genetic Algorithms*, 2nd Ed., John Wiley & Sons, 2004.

[6] Bharadwaj, V., Ghose, D., Robertazzi, T. G., "Divisible Load Theory: A New Paradigm for Load Scheduling in Distributed Systems", *Cluster Computing*, vol.6, no.1, pp.7-17, jan. 2003.

[7] Robertazzi, T. G., "Ten Reasons to Use Divisible Load Theory", *Computer*, pp. 63-68, May 2003.

[8] Jingxi, J., Bharadwaj, V., Ghose, D., "Adaptive Load Distribution Strategies for Divisible Load Processing on Resource Unaware Multilevel Tree Networks", *IEEE Transactions on Computers*, vol. 65, no. 7, pp. 999-1005, 2007.

[9] Ghatpande, A., Nakazato, H., Beaumont, O., Watanabe, H., "SPORT: An Algorithm for Divisible Load Scheduling With Result Collection on Heterogeneous Systems", *IEICE Transactions on Communications*, vol. E91-B, no. 8 August 2008.

[10] Ghatpande, A., Nakazato, H., Beaumont, O., Watanabe, H., "Analysis of Divisible Load Scheduling with Result Collection on Heterogeneous Systems", *IEICE Transactions on Communications*, vol. E91-B, no. 7, July 2008.

[11] Joines, J., Houck, C., "On the Use of Non-Stationary Penalty Functions to Solve Constrained Optimization Problems with Genetic Algorithms", *IEEE International Symposium on Evolutionary Computation*, pp. 579-584, 1994.

[12] Cheng, Y. C., Robertazzi, T. G., "Distributed Computation with Communication Delays", *IEEE Transactions on Aerospace and Electronic Systems*, vol. 24, no. 6, pp. 700-712, Nov. 1988.

[13] Li, X., Bharadwaj, V., Ko, C. C., "Distributed Image Processing on a Network of Workstations", *Int'l J. Computers and Applications*, vol. 25, no. 2, pp. 1-10, 2003.

[14] Blazewicz, J., Drozdowski, M., Markiewicz, M., "Divisible Task Scheduling: Concept and Verification", *Parallel Computing*, vol. 25, pp. 87-98, 1990.

[15] Chan, S., Bharadwaj, V., Ghose, D., "Large Matrix-Vector Products on Distributed Bus Networks with Communication Delays Using the Divisible Load Paradigm: Performance and Simulation", *Math. and Computers in Simulation*, vol. 58, pp. 71-92, 2001.

[16] Altılar, D. Paker, Y., "Optimal Scheduling Algorithms for Communication Constrained Parallel Processing", *Proc. Eighth Int'l Euro-Par Conf.* pp. 197-206, 2002.

[17] Goldberg, D.E., Lingle, R., "Allele Loci and Traveling Salesman Problem", in: J.J. Grefenstette(ed.) Presented at the first International Conf. on Genetic Algorithms, pp. 154-159, 1985.

است که این زمان نیز با توجه به زمان اجرای الگوریتم بهینه، قابل قبول خواهد بود.

جدول (۳): مقایسه زمان اجرا و میانگین کل درصد خطای

نسبی الگوریتم‌ها برای $m=5, \delta=0.5$

نام الگوریتم	میانگین زمان اجرا (ثانیه)	$\frac{\sum_{i=1}^{25} \Delta T_v^i}{25}$
الگوریتم بهینه	115.8594	0
الگوریتم ژنتیک	12.50	0.09162
الگوریتم ITERLP	0.64063	0.19391
الگوریتم FIFO	0.4375	5.89357
الگوریتم LIFO	0.0625	0.18530
الگوریتم SPORT	0.0625	0.32769

۵- نتیجه‌گیری و کارهای آینده

مسئله زمان‌بندی بار محاسباتی تقسیم‌پذیر با در نظر گرفتن زمان بازگشت نتیجه در یک سیستم ناهمگن، جزو مسائل ترکیباتی با درجه پیچیدگی بالا و از مرتبه $O(m!^2)$ است که هنوز الگوریتمی بهینه از مرتبه چند جمله‌ای برای حل آن ارائه نشده است. روش‌های موجود نیز روش‌هایی ابتکاری هستند که نمی‌توانند در تمامی حالات، جواب قابل قبول تولید کنند. در این میان، الگوریتم ژنتیک پیشنهاد شده، در اکثر موارد جواب‌های بهتر و نزدیک‌تری به جواب بهینه تولید می‌کند. این نتیجه‌گیری حتی برای مقادیر بزرگ m و مقادیر نزدیک به یک برای پارامتر دلتا نیز صادق است.

در پایان و در راستای این تحقیق، می‌توان در نظر گرفتن مواردی عملی مانند محدودیت حافظه در کامپیوترهای کارگر و همچنین در نظر گرفتن مدل تاخیر غیرخطی در شبکه را به عنوان کارهای آتی در نظر داشت. استفاده از روش‌های ترکیبی^{۲۹} در الگوریتم ژنتیک جهت کاهش مدت زمان اجرای این الگوریتم را نیز می‌توان به عنوان ادامه کار بیان نمود.

مراجع

- [1] Bharadwaj, V., Ghose, D., Mani, V., Robertazzi, T. G., *Scheduling Divisible Loads in parallel and Distributed Systems*, IEEE CS Press, 1996.
- [2] Vanderbei, R. J., *Linear Programming: Foundations and Extensions*, 2nd Ed., International Series in Operations Research & Management, vol. 37, Kluwer Academic Publishers, 2001.
- [3] Holland, H. J., *Adaptation in Natural and Artificial Systems*, University of Michigan Press, 1975.
- [4] Michalewicz, Z., *Genetic + Data Structures = Evolution Programs*, New York: AI Series Springer-Verlag, 1994.



[18] Rosenberg, A. L., "Sharing Partitionable Workloads in Heterogeneous NOWs: Greedier Is not Better", IEEE International Conf. on Cluster Computing, pp. 124-131, Newport Beach, CA, Oct. 2001.

[19] Suresh, S., Mani, V., Omkar, S. N., Kim, H. J., "Divisible Load Scheduling in Distributed Systems with Buffer Constraints: Genetic Algorithm and Linear Programming Approach", International Journal of Parallel, Emergent and Distributed Systems, Vol. 21, No. 5, pp. 303-321, Oct. 2006.

[20] Ghatpande, A., Nakazato, H., Watanabe, H., Beaumont, O., "Divisible Load Scheduling with Result Collection on Heterogeneous Systems", Proc. Heterogeneous Computing Workshop (HCP 2008), April 2008.

[21] Beaumont, O., Marchal, L., Rehn, V., Robert Y., "FIFO Scheduling of Divisible Loads with Return Messages Under the One Port Model", Proc. Heterogeneous Computing Workshop HCW'06, April 2006.

[22] Robertazzi, T., <http://www.ece.sunysb.edu/~tom/dlt.html>.

آخرنویسها

- ¹ Jobs
- ² Heterogeneous
- ³ Links
- ⁴ NP_Hard
- ⁵ Divisible Load
- ⁶ Load Units
- ⁷ Fine-Granularity
- ⁸ Massive-Data
- ⁹ Data Mining
- ¹⁰ Master-Worker
- ¹¹ Topology
- ¹² Makespan
- ¹³ Last In First Out Channel
- ¹⁴ First In First Out Channel
- ¹⁵ Iteratively Solving Linear Programs
- ¹⁶ System Parameters based Optimized Result Transfer
- ¹⁷ Homogeneous
- ¹⁸ Application
- ¹⁹ Allocation Sequence
- ²⁰ Collection Sequence
- ²¹ Exhaustive Search
- ²² Greedy
- ²³ Fitness Function
- ²⁴ Crossover
- ²⁵ Mutation
- ²⁶ Selection
- ²⁷ Elitism
- ²⁸ Partially Mapped Crossover (PMC)
- ²⁹ Hybrid